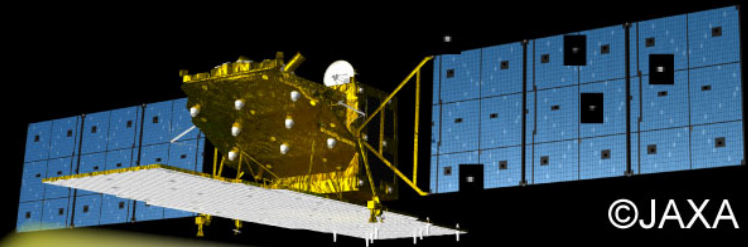


# ALOS-2-based observation of crustal deformation associated with large earthquakes



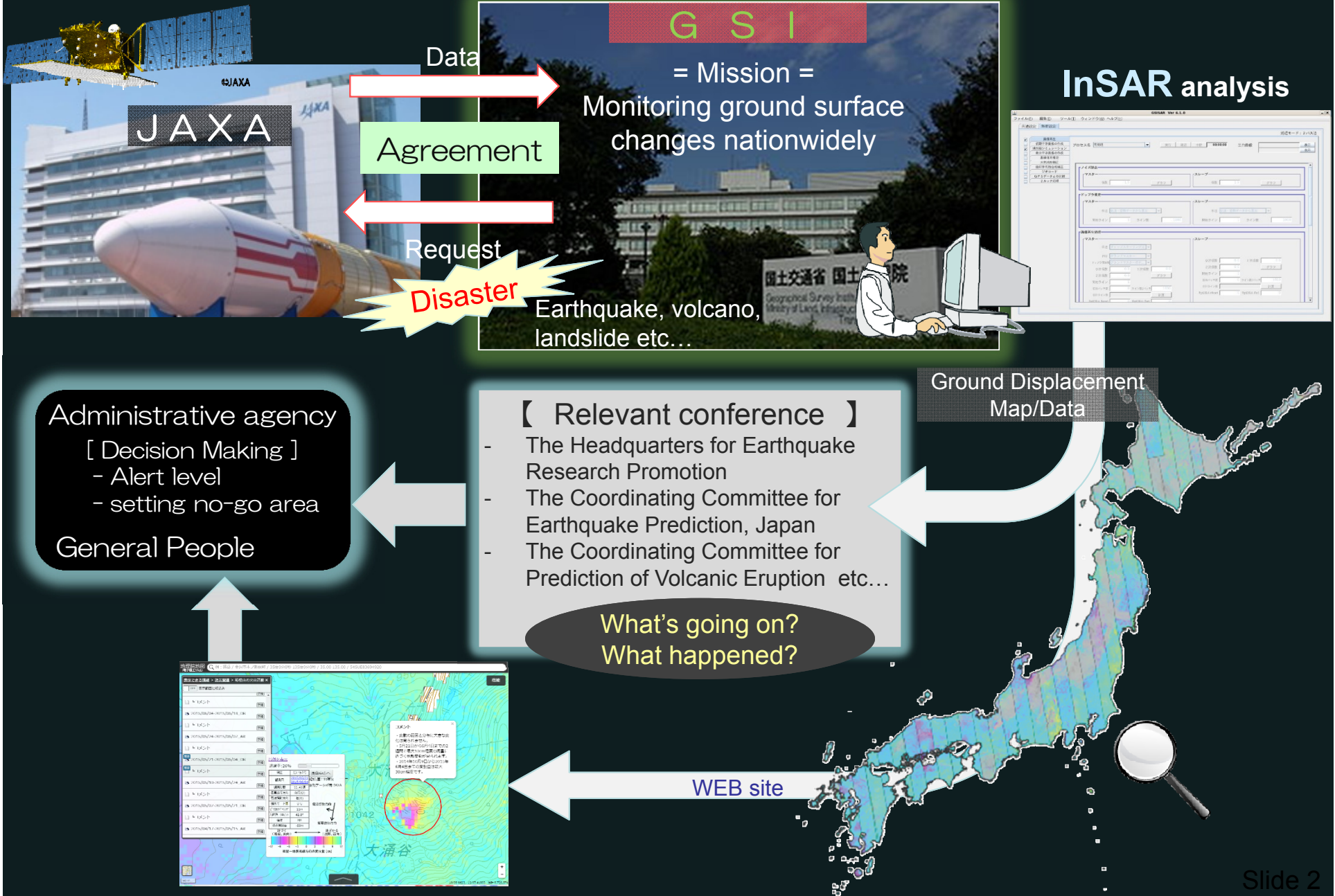
Tomokazu KOBAYASHI

(Geospatial Information Authority of Japan)

**ACKNOWLEDGEMENTS:** The data analyzed here were provided by the Japan Aerospace Exploration Agency (JAXA) under a cooperative research contract between the Geospatial Information Authority of Japan (GSI) and JAXA

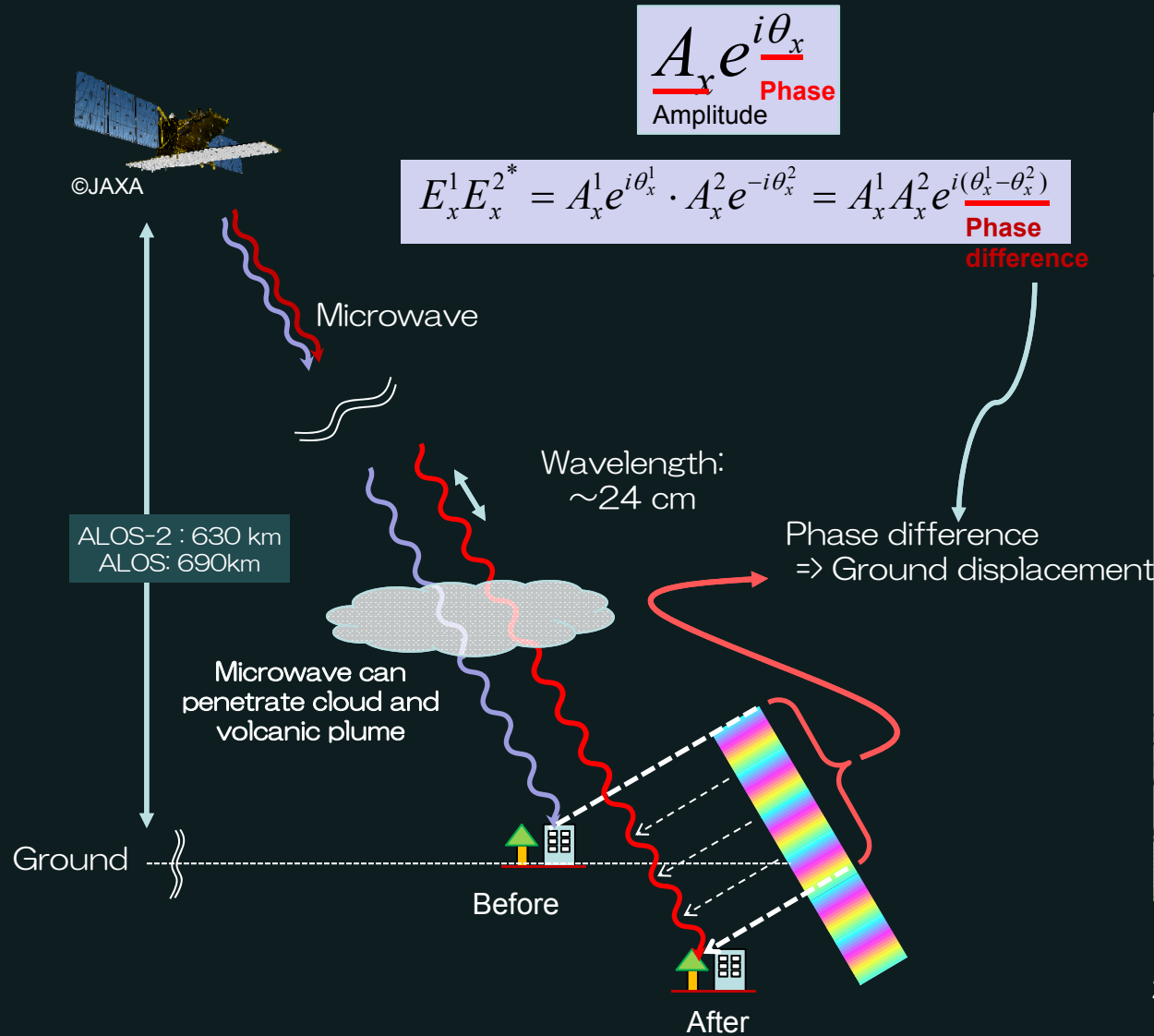
Nov. 01, 2018@6<sup>th</sup> JPTM

# Partnership between GeoSpatial Information Authority of Japan & JAXA 国土地理院

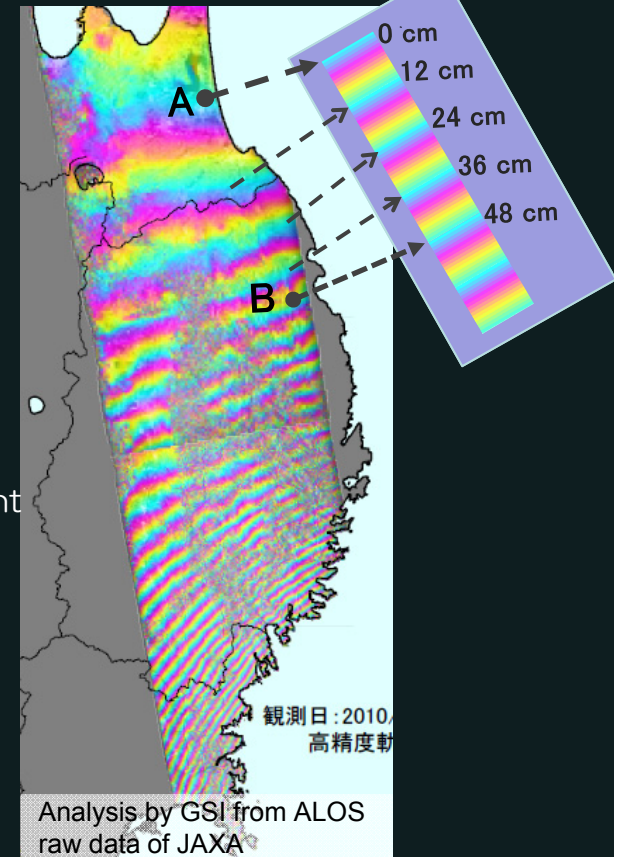


# What's InSAR?

InSAR : Measurement technique for crustal deformation observation



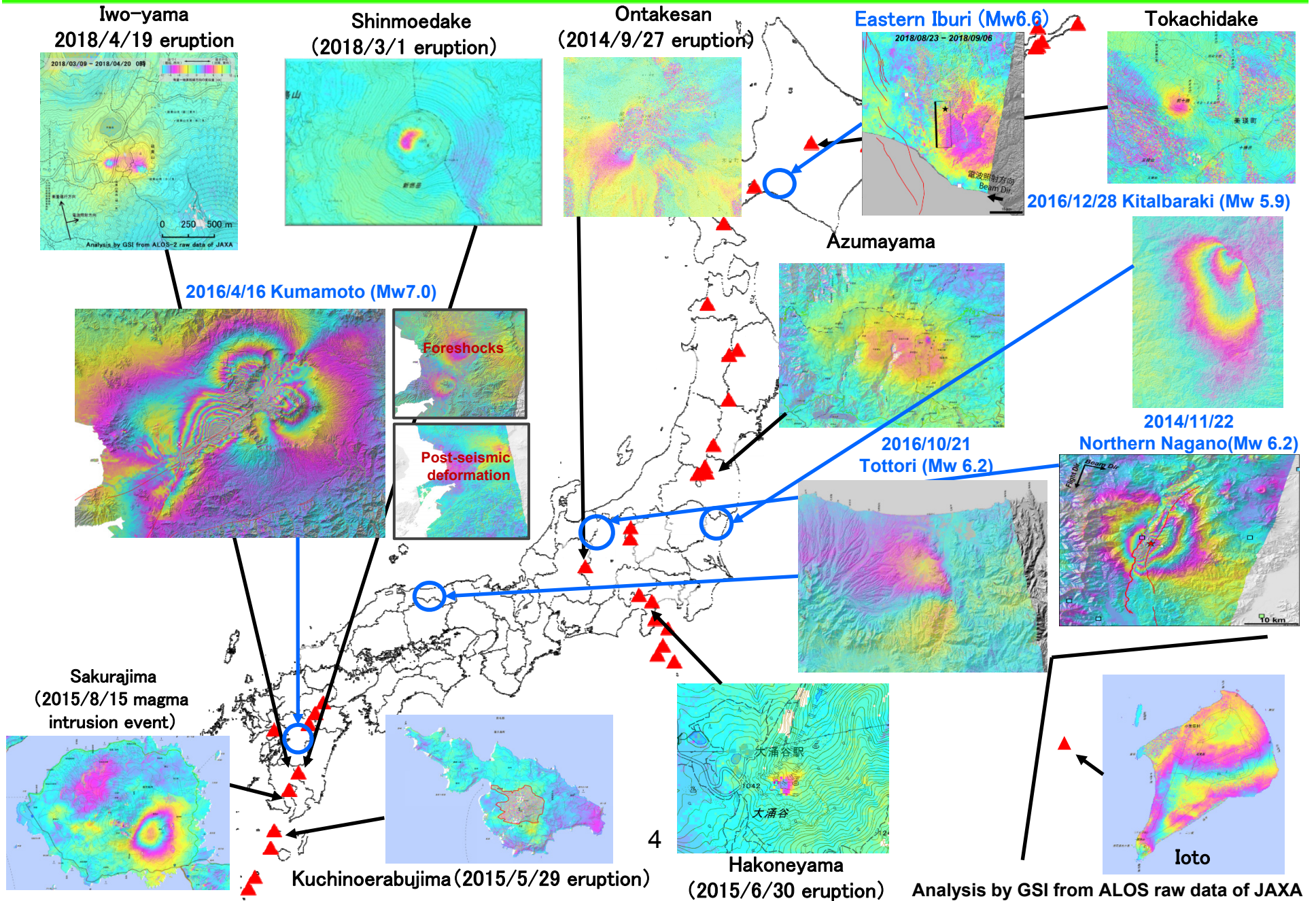
The 2011 Tohoku Earthquake



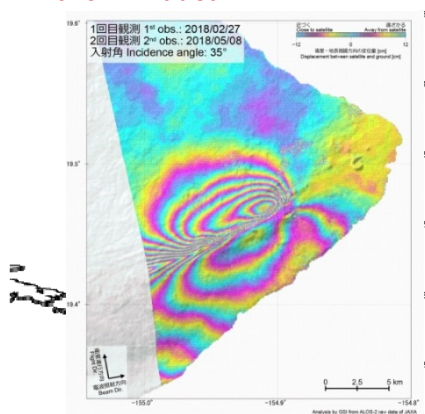
1st Obs. : 01/11/2011  
2nd Obs. : 04/13/2011

※One color cycle is equivalent to a half-wavelength

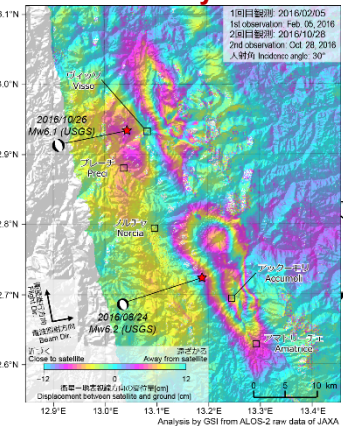
# Earthquake/Volcano observation by ALOS-2 [2014- ]



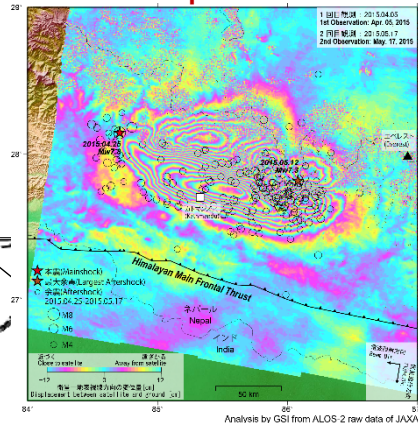
**2018/4 Kilauea**



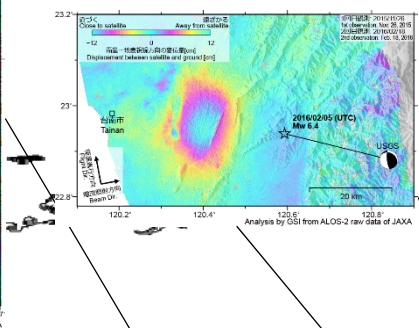
**2016/8/24 Italy**



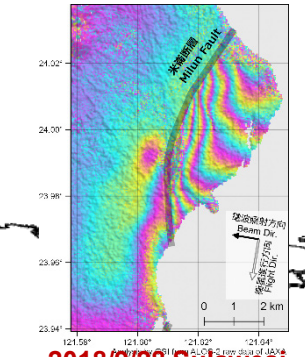
**2015/4/25 Nepal**



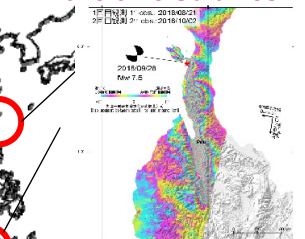
**2016/2/6 Taiwan**



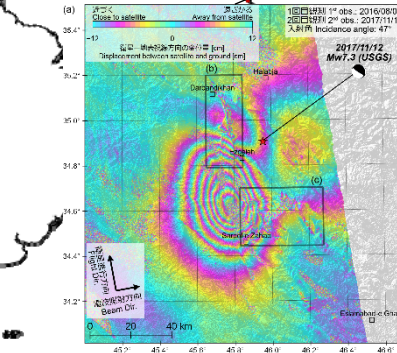
**2018/2/6 Taiwan**



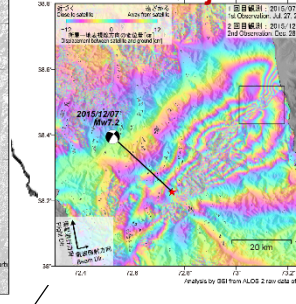
**2018/9/28 Sulawesi**



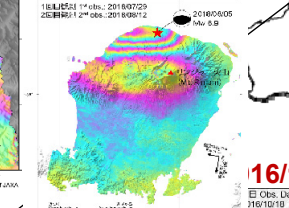
**2017/11/12 Iran-Iraq**



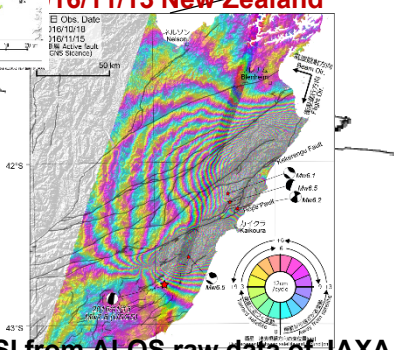
**2015/12/7 Tajikistan**



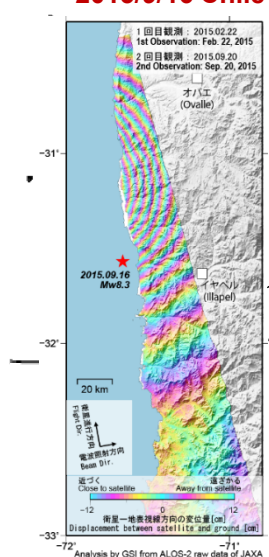
**2018/8/5 Lombok**



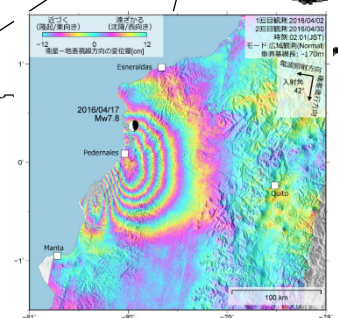
**16/11/13 New Zealand**



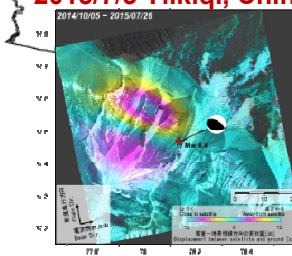
**2015/9/16 Chile**



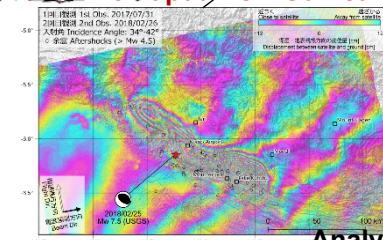
**2016/4/17 Ecuador**



**2015/7/3 Yilkiqi, China**



**2018/2/25 Papua New Guinea**



Analysis by GSI from ALOS raw data of JAXA

## ■ Topic 1

### Earthquake observation using ALOS-2

through the application to the latest Japanese inland earthquake:  
the 2018 Hokkaido Eastern Iwate Earthquake

## ■ Topic2

Mapping of three-component displacements  
associated with large earthquake

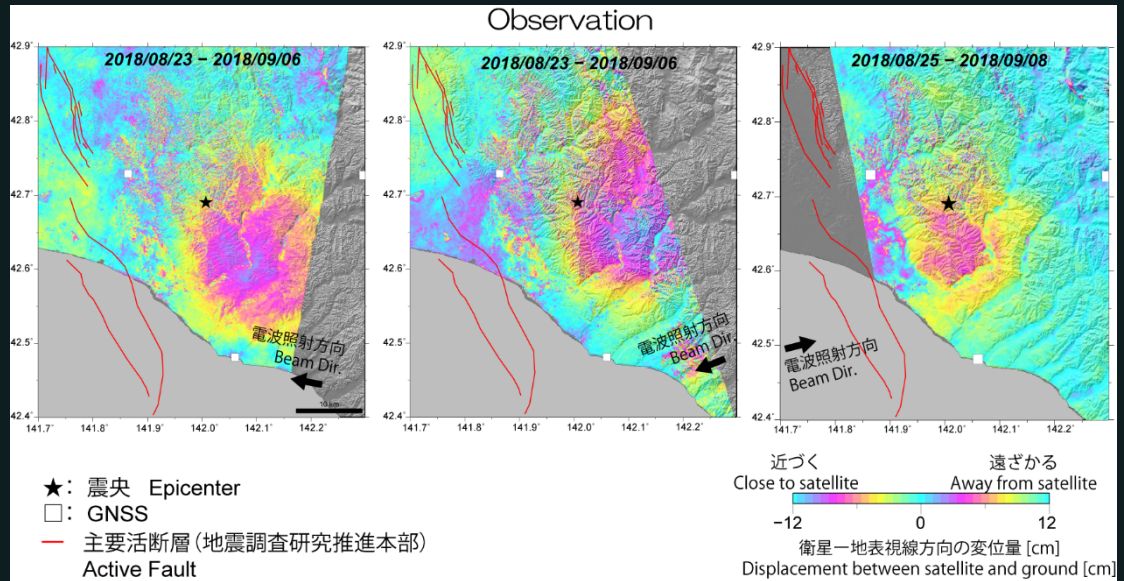
Application 1: The 2016 Tottori earthquake, Japan

Application 2: The 2016 Kumamoto earthquake

# The 2018 Hokkaido Eastern Iburi Earthquake



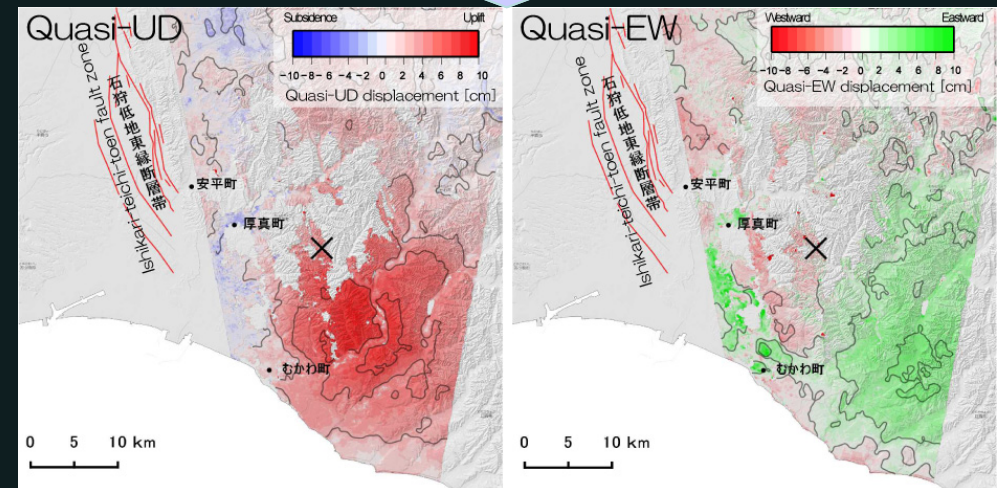
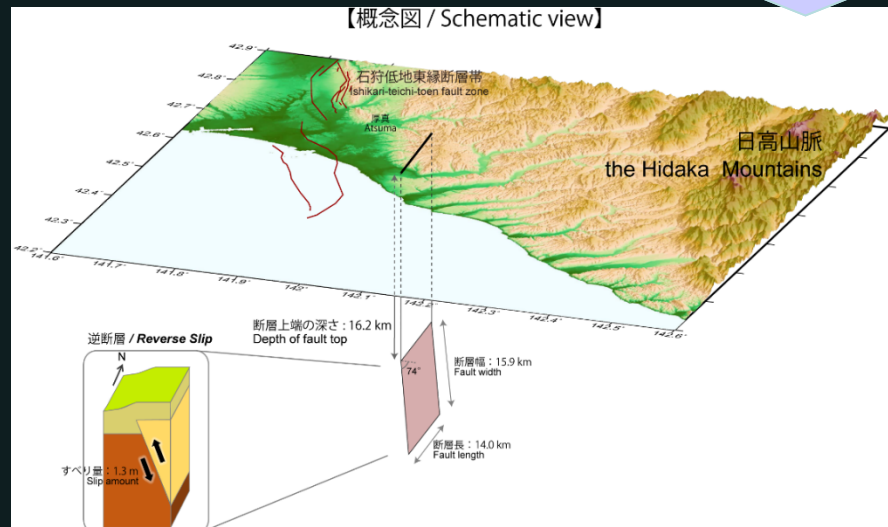
Date: Sep. 6, 2018 Mj6.7 / Mw6.6  
 Seismic intensity: 7 (Highest rank)  
 Depth: 37 km



Model Estimate

1-D (LOS)

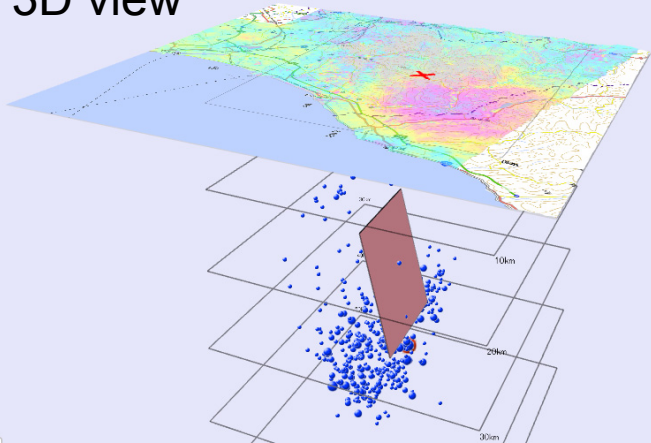
2-D



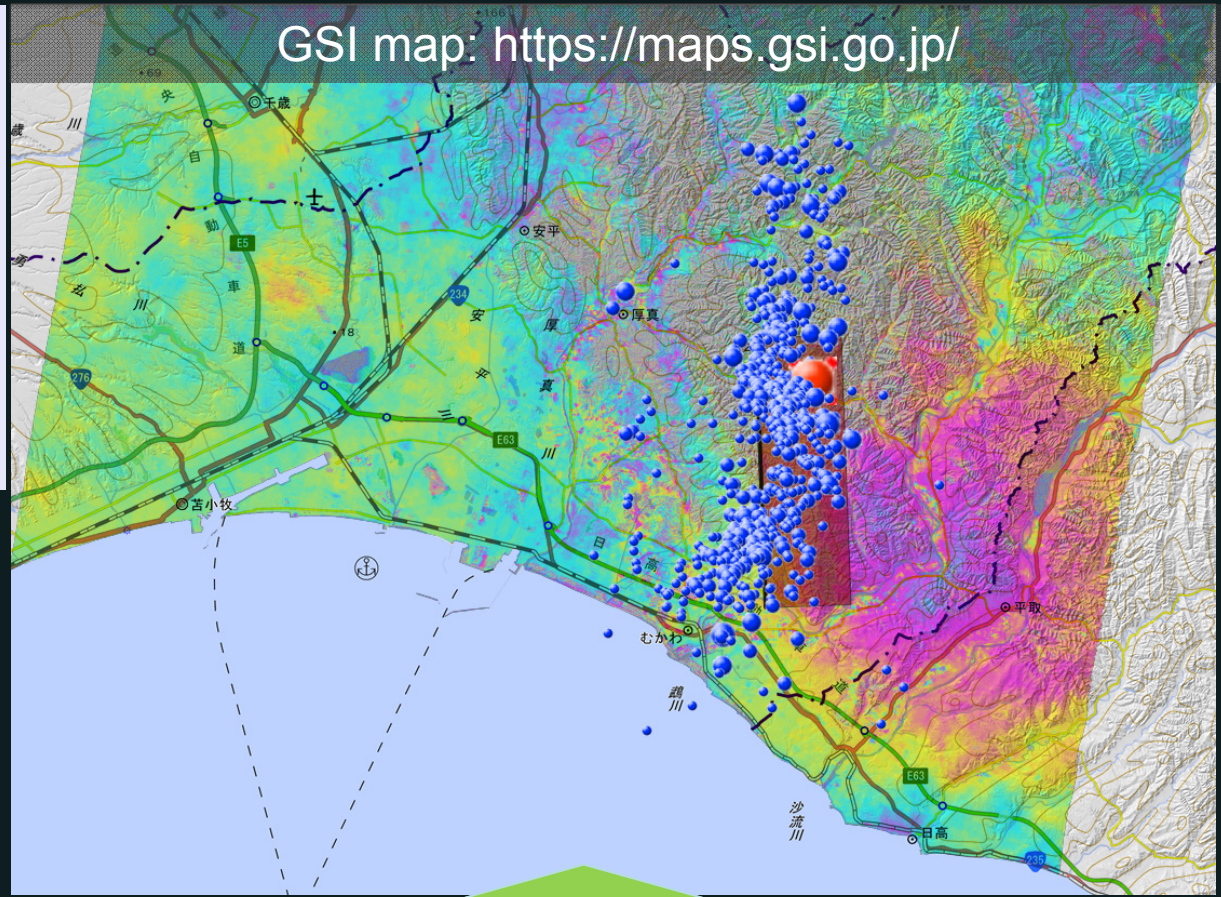
EW & UD: helpful to understand the movements

# SAR-derived information on GSI map

3D view



GSI map: <https://maps.gsi.go.jp/>



▶ The 2018 Hokkaido Eastern Iwuri Earthquake: Fault Model (preliminary)

Released: Sep. 12, 2018, updated: Oct. 12, 2018. <https://www.gsi.go.jp/earthquake/20180912/>

**Summary**

An earthquake (M<sub>s</sub> 6.7) struck eastern Iwuri subprefecture in Hokkaido in Japan on September 6, 2018. A fault model was constructed from the crustal deformation data observed by InSAR (ALOS-2) and GNSS.

- 1) The estimated rectangular fault model with a uniform slip shows a high-angle reverse fault motion with the strike of N - S direction.
- 2) The upper edge of the fault is at a depth of ~12 km.
- 3) The moment magnitude (M<sub>w</sub>) is estimated to be 6.56 (seismic moment: 8.68 × 10<sup>19</sup> Nm).

**Rectangular Fault Model**

Horizontal Component      Vertical Component

Figure 1: Observed and model-calculated coseismic displacements by GNSS data (red: observation / blue: calculation). (a) Horizontal component. (b) Vertical component. Star and gray dots indicate the epicenter of the main shock and the aftershock, respectively. The frame indicates surface projections of the fault plane and the thick line represents the upper edge. Red lines on the map stand for active faults (Fig. 2005B).

観測 Observation      計算 Calculation      震害 Result

You can superimpose various information such as fault model

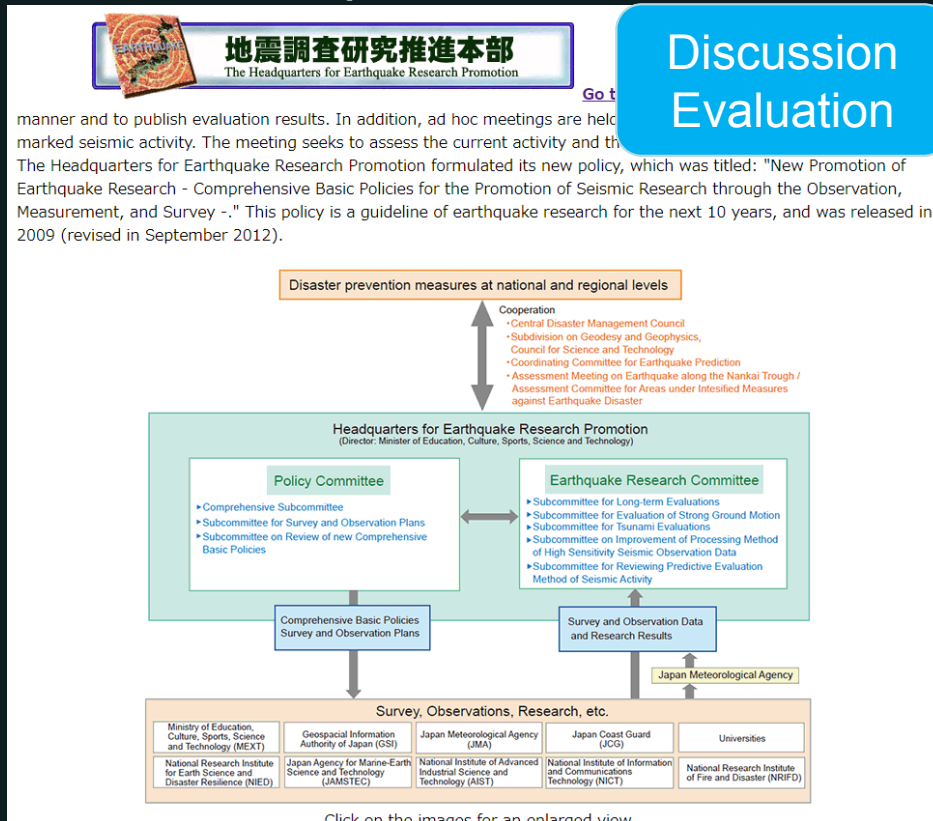
Web site for the fault model

<http://www.gsi.go.jp/cais/topic180912-index-e.html>



# Contribution to official evaluation

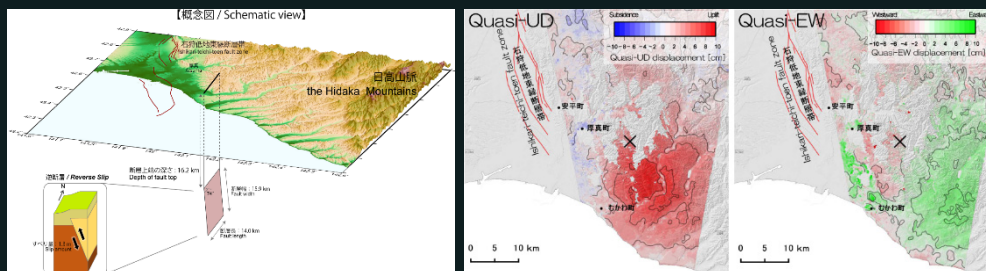
## The Headquarters for Earthquake Research Promotion Earthquake Research Committee



Discussion Evaluation

<https://www.jishin.go.jp/main/index-e.html>

Report



Official evaluation

平成30年10月12日  
地震調査研究推進本部  
地震調査委員会

平成30年北海道胆振東部地震の評価

- 2018年9月6日03時07分に北海道胆振地方中東部の深さ約35kmでマグニチュード(M)6.7の地震が発生した。この地震により胆振地方で最大震度7を観測し、被害を伴った。この地震の発震機構は東北東-西南西方向に圧力軸を持つ逆断層型で、陸のプレート内で発生した地震である。
- その後の地震活動は、M6.7の地震の震源を含む南北約30kmの領域で、減衰しつつも活発な状態が継続している。9月6日06時11分と10月5日08時58分に発生した地震により最大震度5弱を観測したほか、10月12日10時までに最大震度4を観測した地震が20回発生するなどしている。10月12日10時までの最大規模の地震は、9月6日03時20分に発生したM5.5の地震である。
- 今回の地震に伴い、安平(あびら)町のK-NET追分観測点で1796gal(三成分合成)など、大きな加速度を観測した。
- GNSS観測の結果では、地震に伴って、日高町の別(もんべつ)観測点が南に約5cm、苫小牧市の苫小牧観測点が東に約4cm移動するなど、地殻変動が観測された。また、陸域観測技術衛星2号「だいち2号」の合成開口レーダー干渉解析の画像によると、震央周辺で最大約7cm(暫定値)の隆起及び、隆起域の東側で最大約4cm(暫定値)の東向きの地殻変動が観測された。
- 胆振地方東部・日高地方から浦河沖の周辺では、陸域で通常発生する地殻内の地震よりも深い場所でも地震が多く発生している特徴が見られ、今回の地震活動はこのような特徴がある地域で発生したものである。
- 地震活動の分布や地殻変動などから、今回の地震の震源断層上端の深さは15km程度にまで達している可能性がある。また、地震活動が続いている場所の西側の地表付近では、石狩低地東縁断層帯が南北方向に延びている。
- 地震活動は減衰しつつも活発な状態が継続しており、10月に入ってから最大震度5弱を観測する地震が発生している。一連の活動は当分続くので、注意が必要である。

SAR-derived results

注：GNSSとは、GPSをはじめとする衛星測位システム全般をしめす呼称である。K-NETとは、国立研究開発法人防災科学技術研究所が整備した強震観測網である。

[https://www.static.jishin.go.jp/resource/monthly/2018/20180906\\_iburi\\_3.pdf](https://www.static.jishin.go.jp/resource/monthly/2018/20180906_iburi_3.pdf)

ALOS-2 data contribute to official comprehensive evaluation of survey results for the earthquake

## ■ Topic 1

### Earthquake observation using ALOS-2

through the application to the latest Japanese inland earthquake:  
the 2018 Hokkaido Eastern Iburi Earthquake

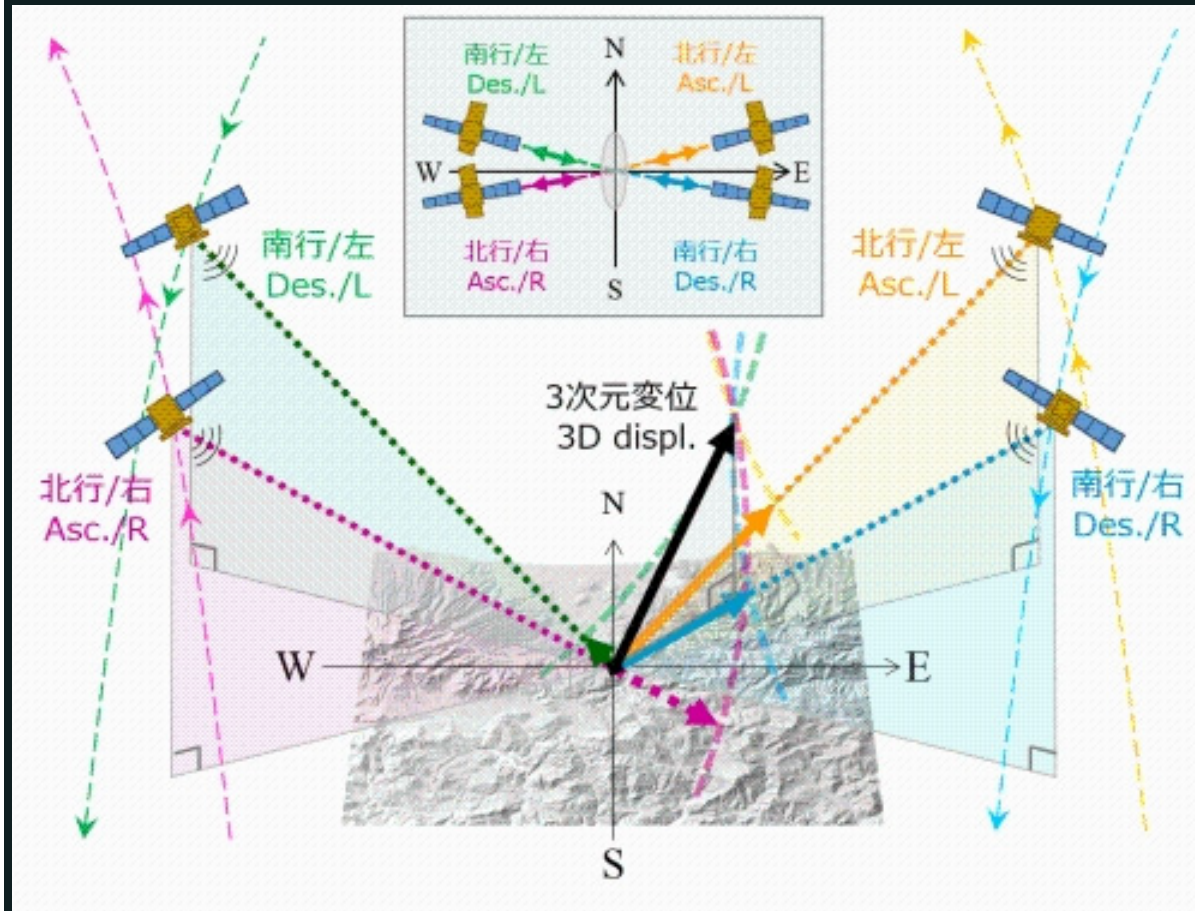
## ■ Topic2

### Mapping of three-component displacements associated with large earthquake

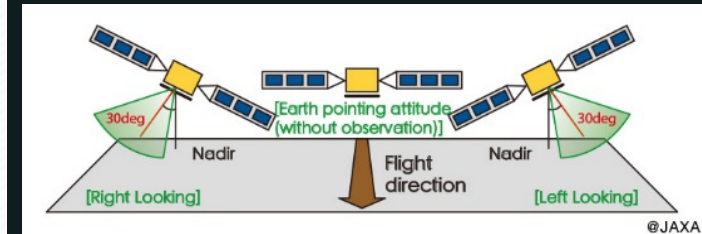
Application 1: The 2016 Tottori earthquake, Japan

Application 2: The 2016 Kumamoto earthquake

# Use of both Right- & Left-looking modes



<http://www.gsi.go.jp/cais/topic161027-index.html>

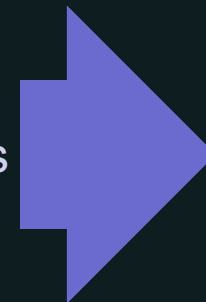


ALOS-2 possesses the capability of both right- and left-looking.

ALOS-2 can provide images from four directions

- 1) Ascending orbit + Right-looking
- 2) Ascending orbit + Left-looking
- 3) Descending orbit + Right-looking
- 4) Descending orbit + Left-looking

Least Squares Method



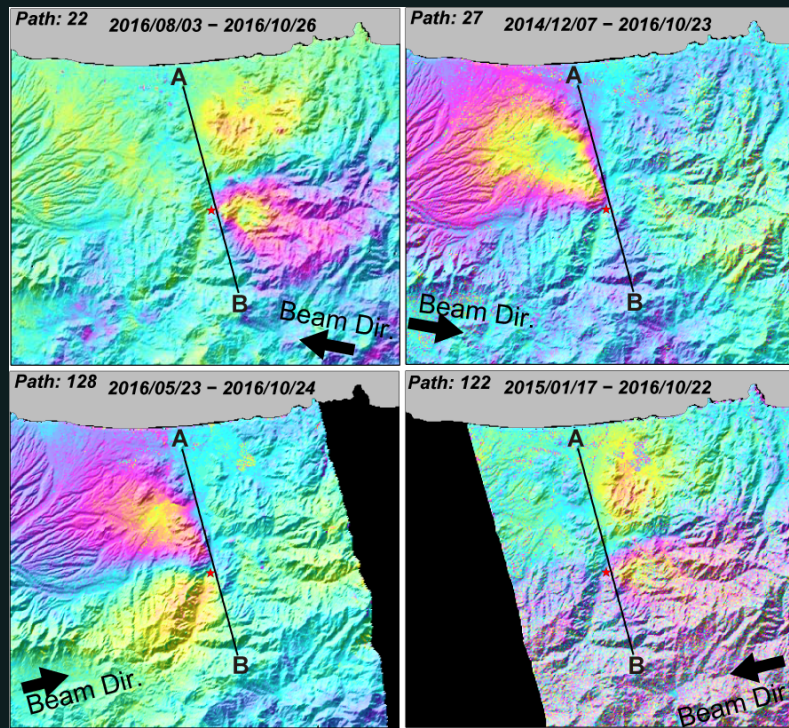
3 components

EW, NS, UD

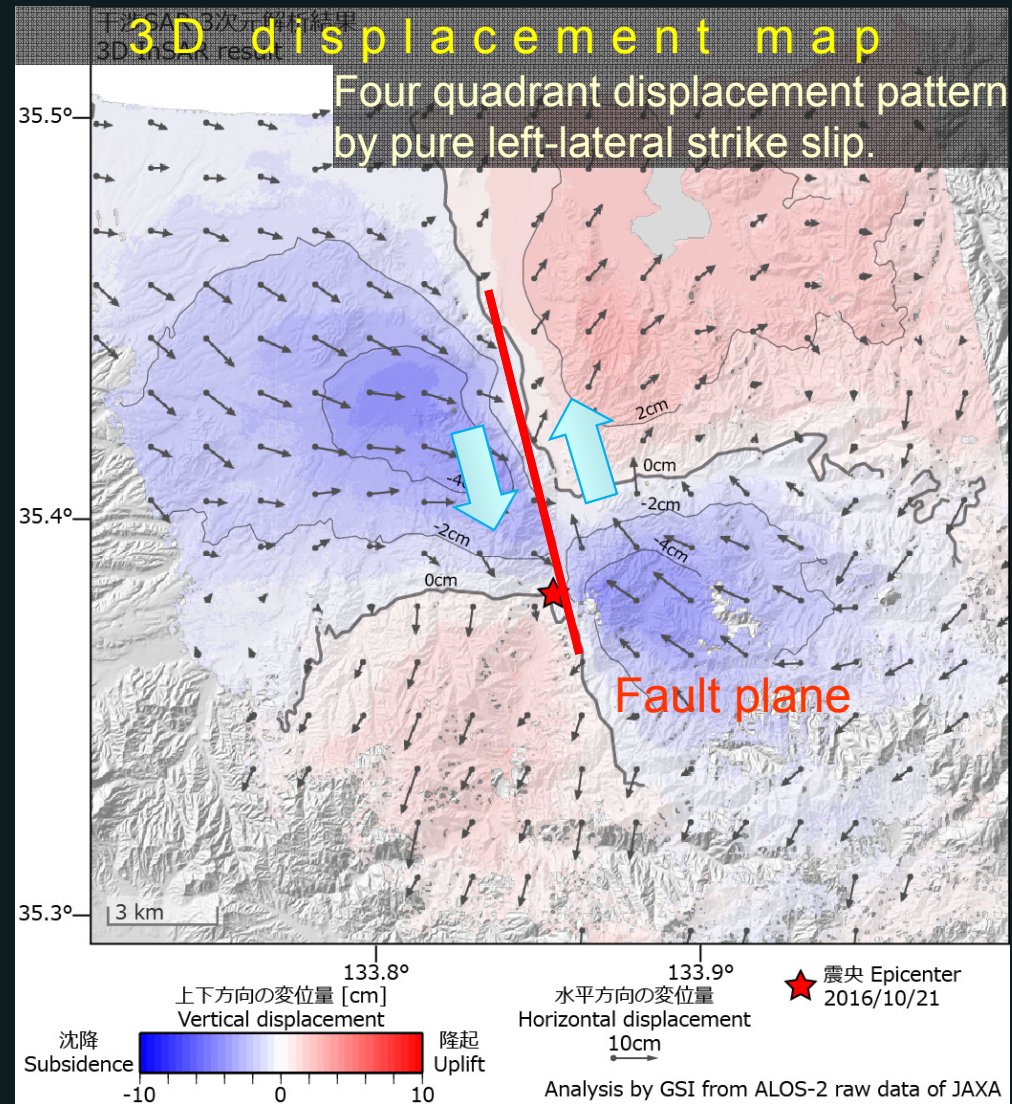
# 3D displacement map: The 2016 Central Tottori Earthquake

Full 3D coseismic displacement field was retrieved from four independent SAR interferograms with different observing directions

## Interferograms

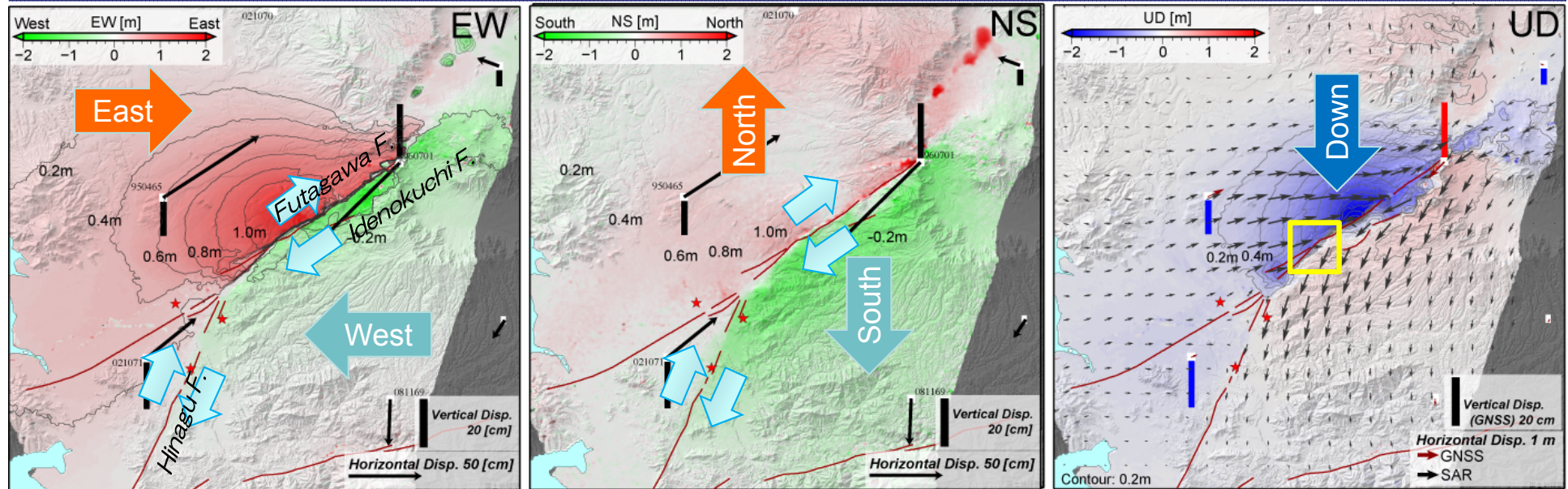


Date: October 21, 2016  
 Magnitude: Mw6.2  
 Depth: 11 km  
 Mechanism: Left-lateral fault slip

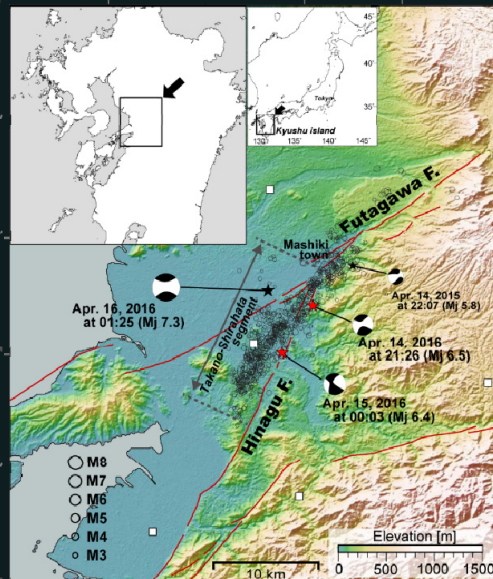


# 3D displacement map = the 2016 Kumamoto earthquake =

## SAR-derived 3D displacement map



Kobayashi (2018)

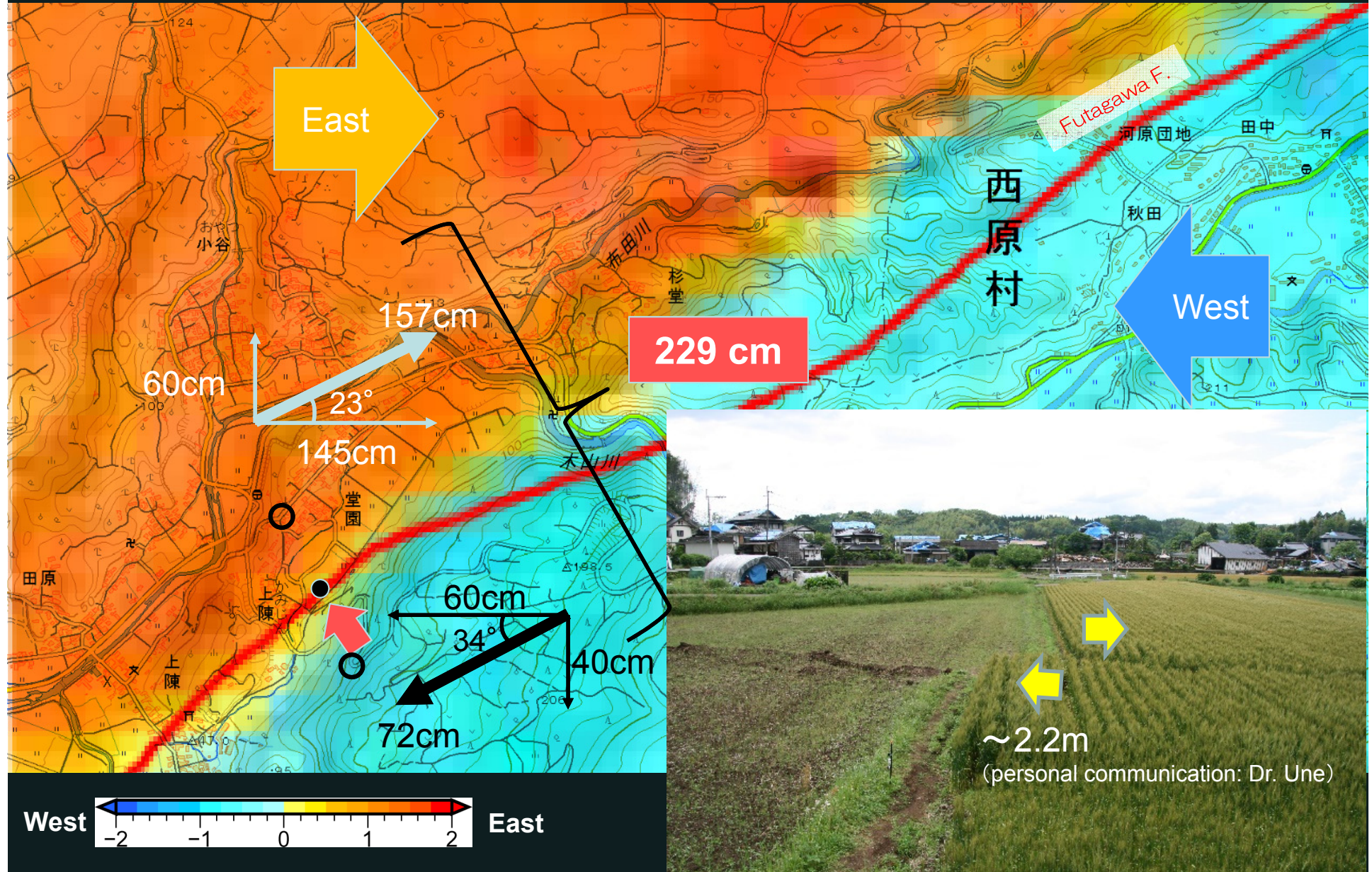


## The 2016 Kumamoto earthquake

- Main shock: Mw7.0
- Foreshocks: Mw6.2, 6.0
- Futagawa & Hinagu faults
- Right lateral + normal dip motions

# Comparison with field survey result

EW



# Summary

1. We (GSI) are **monitoring** ground deformation **nationwidely** with **ALOS-2**-based InSAR.

2. Once an **earthquake occur**, we **emergently** conduct InSAR analysis using ALOS-2, and

2-1. construct fault model to know the fault location and the mechanism.

2-2. report the analysis results to the relevant organizations.

2-3. publish the SAR-derived information on our web site.

3. We retrieve not only LOS component displacement but also **full 3-D** coseismic **displacement** field.

We successfully mapped the 3-D displacement for the 2016 Central Tottori Earthquake and the 2016 Kumamoto earthquake, which are helpful to know the fault-related ground motions.

➡ **Satellite operation/strategy** for achievement of observations with different view angles will be more important to improve ground displacement monitoring.

